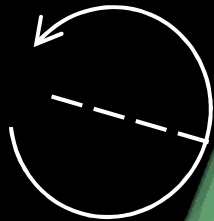


(487) Venetia



山村秀人

自转轴



根元健

出現

潜入

0km

50km

図1 (487) Venetia 2024年8月2日 15h42m56s UT DAMIT Model 1871 ($\lambda = 78$ 、 $\beta = +3$)※1
 $P = 74^\circ$ 、 $\beta_e = +69^\circ$ 、 $\lambda_e = -13^\circ$ 、Scale Factor 1: 0.90、 $k = 0.990$ 、 $B = 268.7^\circ$

(487) Venetia

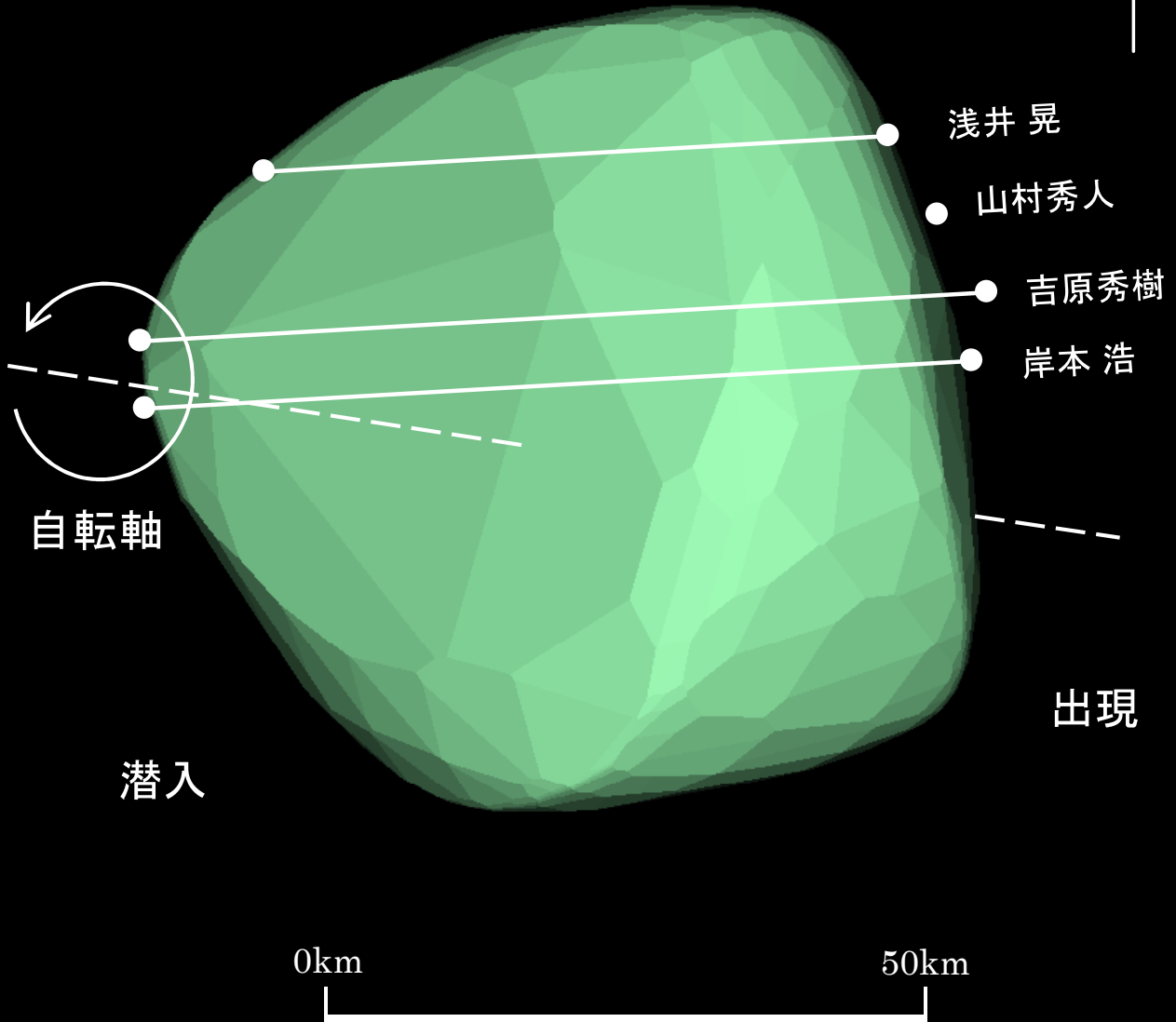


図2 (487) Venetia 2024年10月5日 09h56m00s UT DAMIT Model 1871 ($\lambda = 78$ 、 $\beta = +3$) $\times 1$
 $P = 81^\circ$ 、 $\beta_e = +66^\circ$ 、 $\lambda_e = +307^\circ$ 、Scale Factor 1: 0.90、 $k = 0.963$ 、 $B = 264.9^\circ$

(487) Venetia

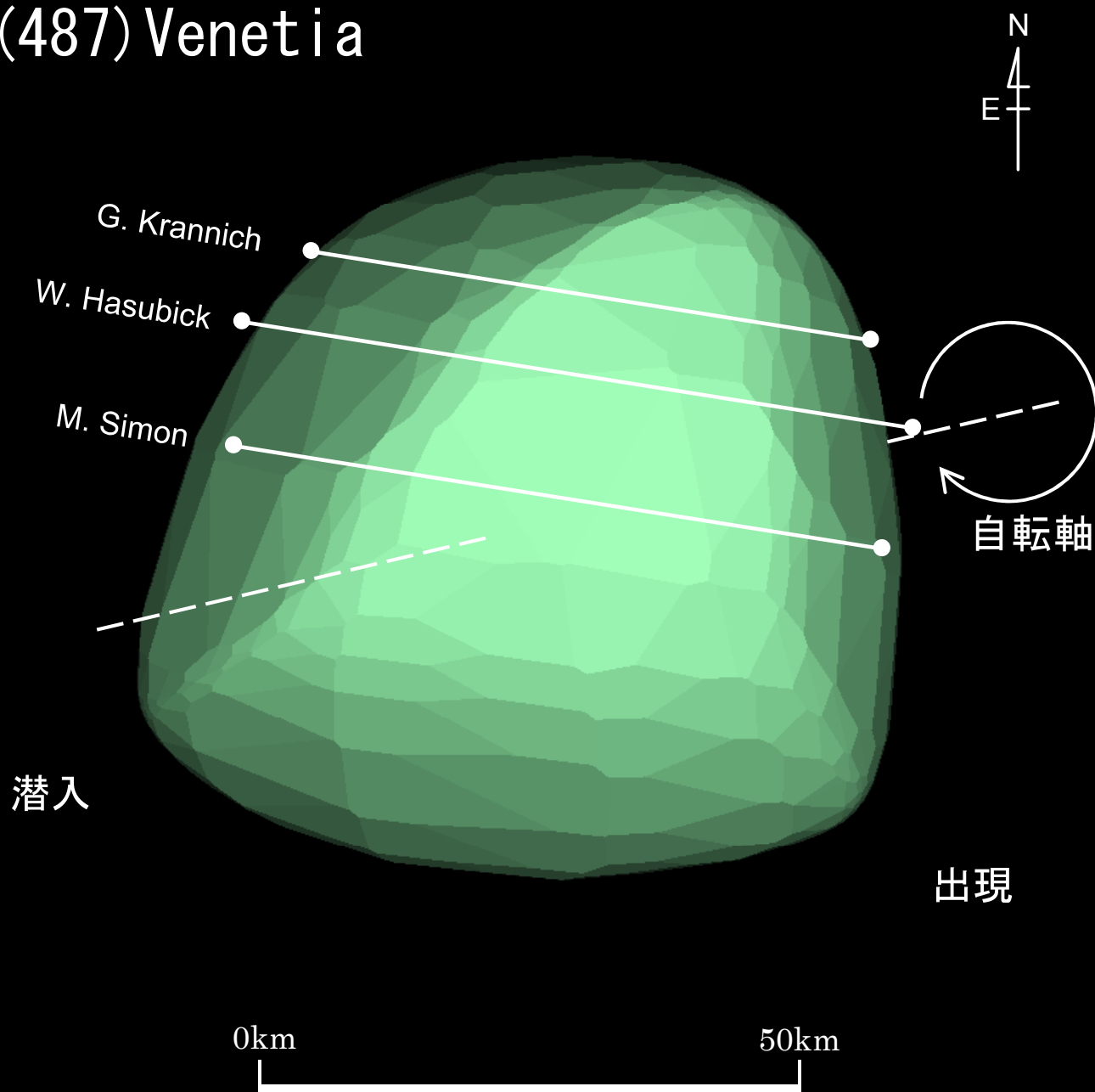


図3 (487) Venetia 2022年3月26日 18h30m30s UT DAMIT Model 1871 ($\lambda = 78$ 、 $\beta = +3$) $\times 1$
 $P = 283^\circ$ 、 $\beta_e = -75^\circ$ 、 $\lambda_e = -65^\circ$ 、Scale Factor 1: 0.90、 $k = 0.962$ 、 $B = 271.0^\circ$

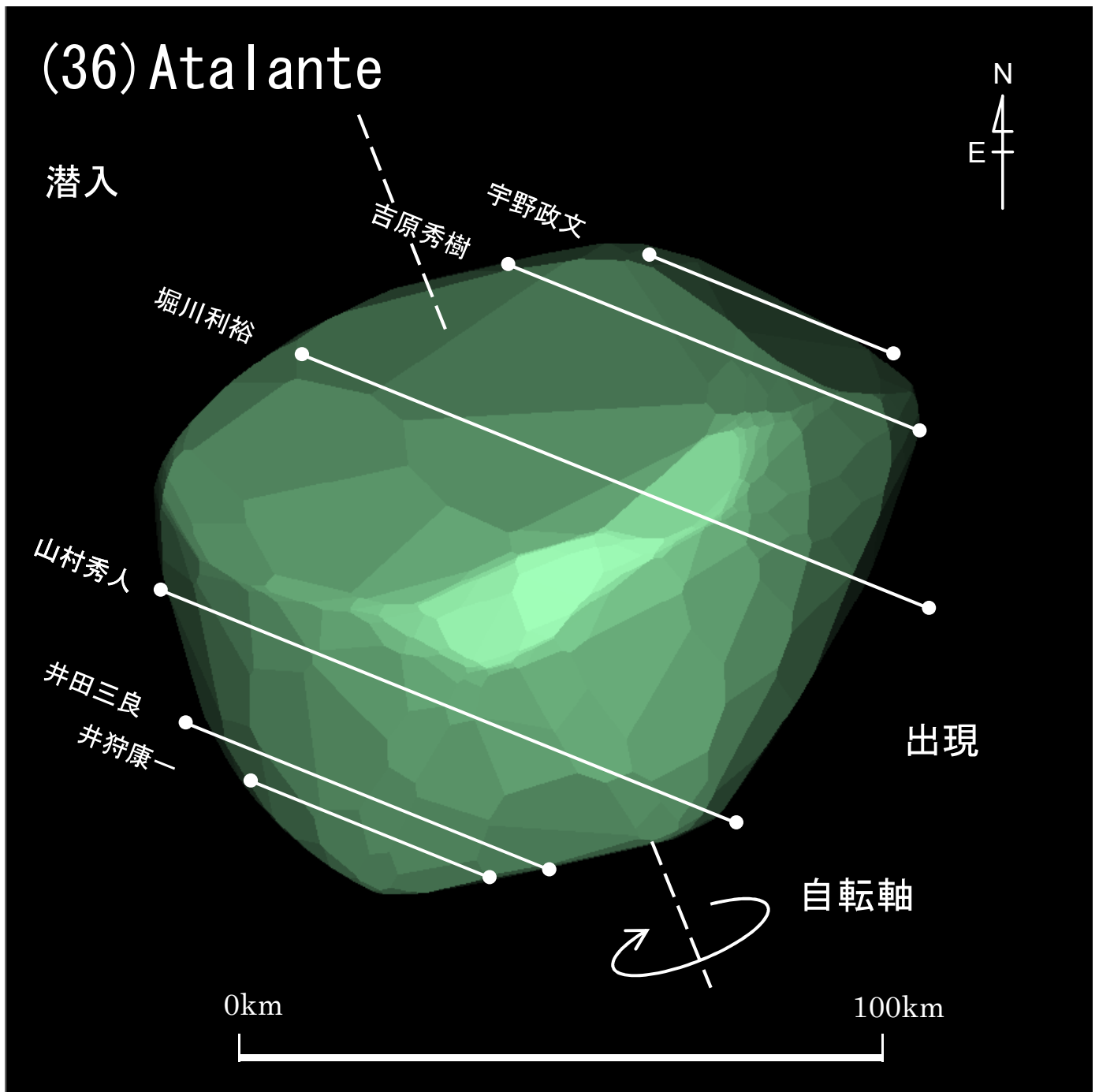


図4 (36) Atalante 2024年9月3日 18h51m48s UT DAMIT Model 824 ($\lambda = 45$ 、 $\beta = -49$)※1
 $P = 203^\circ$ 、 $\beta_e = -17^\circ$ 、 $\lambda_e = -170^\circ$ 、Scale Factor 1: 88.8、 $k = 0.928$ 、 $B = 90.3^\circ$

(36) Atalante

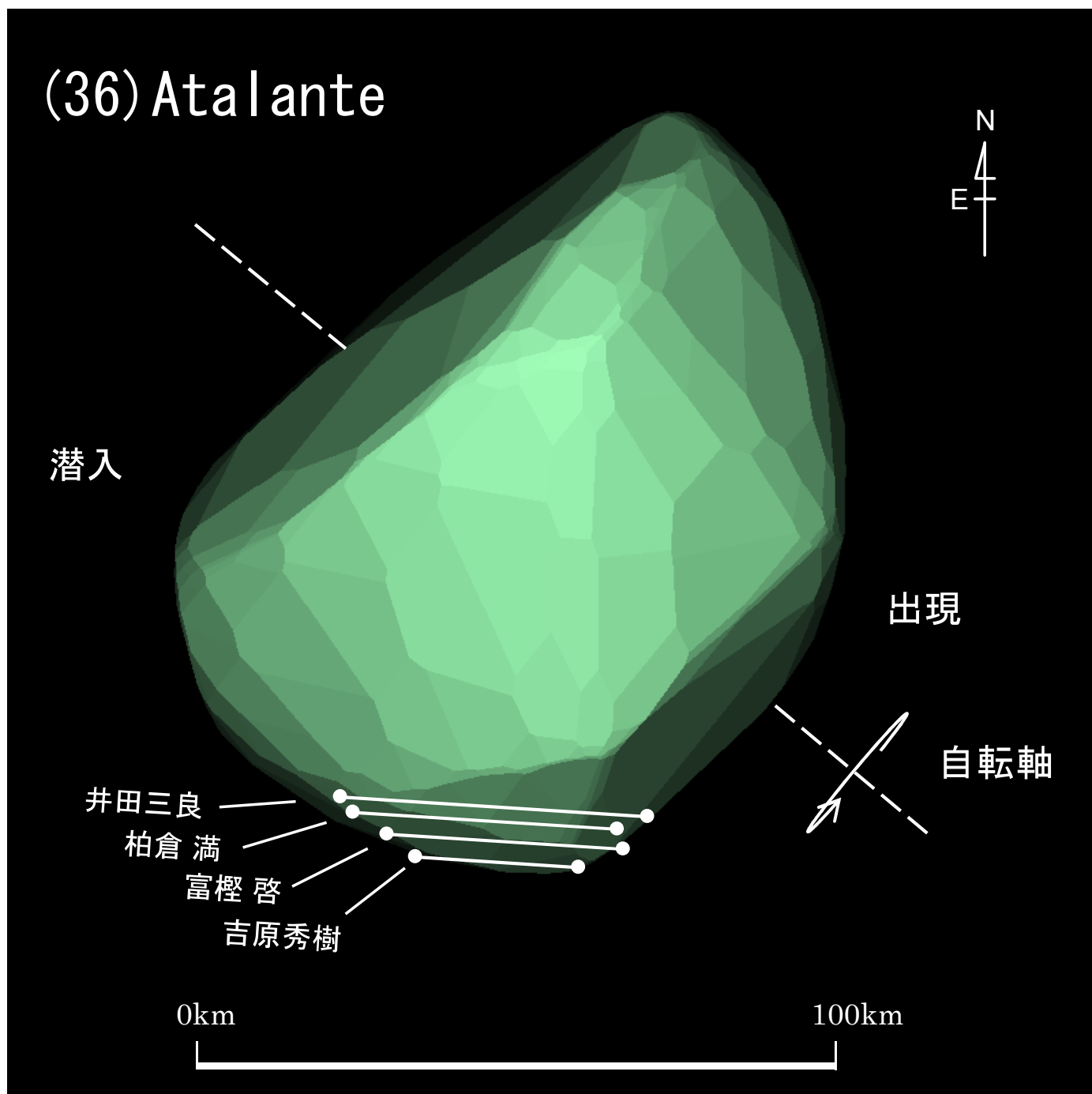


図5 (36) Atalante 2015年10月7日 18h13m30s UT DAMIT Model 824 ($\lambda = 45$ 、 $\beta = -49$)※1
 $P = 230^\circ$ 、 $\beta_e = +2^\circ$ 、 $\lambda_e = -205^\circ$ 、Scale Factor 1: 89.8、 $k = 0.936$ 、 $B = 105.8^\circ$

(36) Atalante

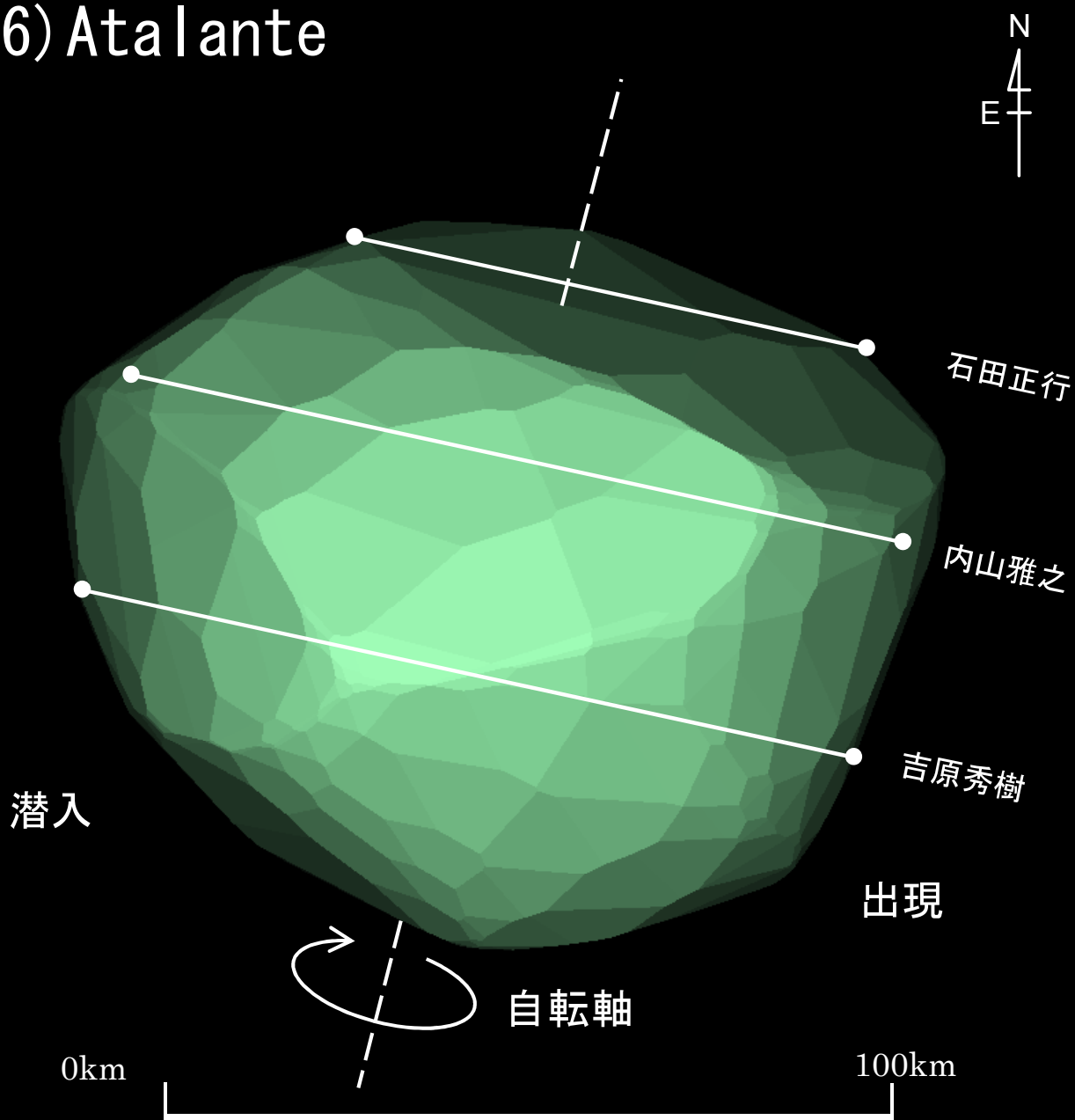


図6 (36) Atalante 2011年3月5日 11h08m06s UT DAMIT Model 824 ($\lambda = 45$ 、 $\beta = -49$) $\times 1$
 $P = 166^\circ$ 、 $\beta_e = -24^\circ$ 、 $\lambda_e = +46^\circ$ 、Scale Factor 1: 88.1、 $k = 0.945$ 、 $B = 244.7^\circ$

(56) Melete

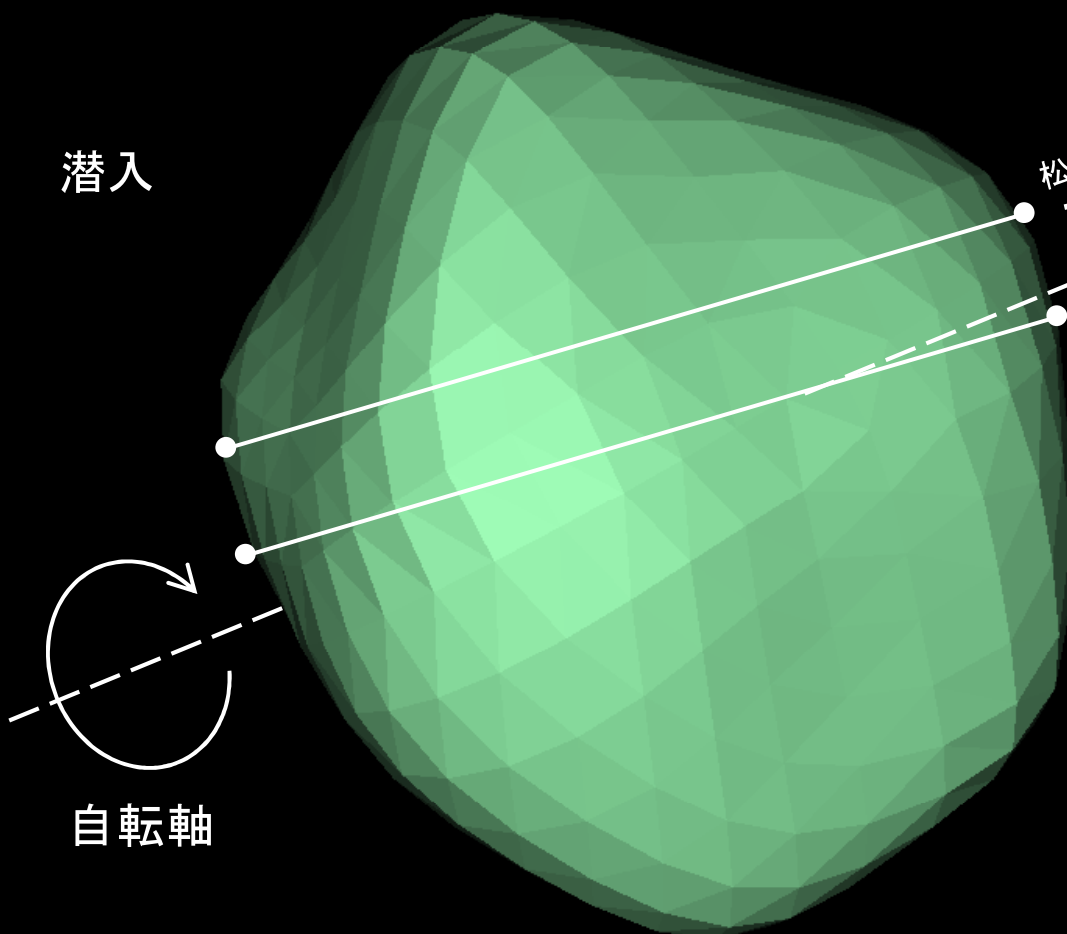
出現



潜入

松下宏・田中保志
・中島孝明

瀧本麻須美



自転軸

0km

100km

図7 (56) Melete 2024年9月8日 09h53m26s UT DAMIT Model 1852 ($\lambda = 283$ 、 $\beta = -1$)※1
 $P = 113^\circ$ 、 $\beta_e = -55^\circ$ 、 $\lambda_e = -7^\circ$ 、Scale Factor 1: 1.0、 $k = 0.933$ 、 $B = 277.3^\circ$

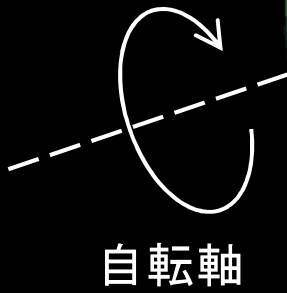
(56) Melete



G.Vaudesca
Y.Argentin

出現

潜入



自轉軸

0km

100km

図8 (56) Melete 2024年1月20日 04h50m09s UT DAMIT Model 1852 ($\lambda = 283$ 、 $\beta = -1$) $\times 1$
 $P = 109^\circ$ 、 $\beta_e = -34^\circ$ 、 $\lambda_e = -306^\circ$ 、Scale Factor 1: 1.0、 $k = 0.963$ 、 $B = 66.8^\circ$

(56) Melete

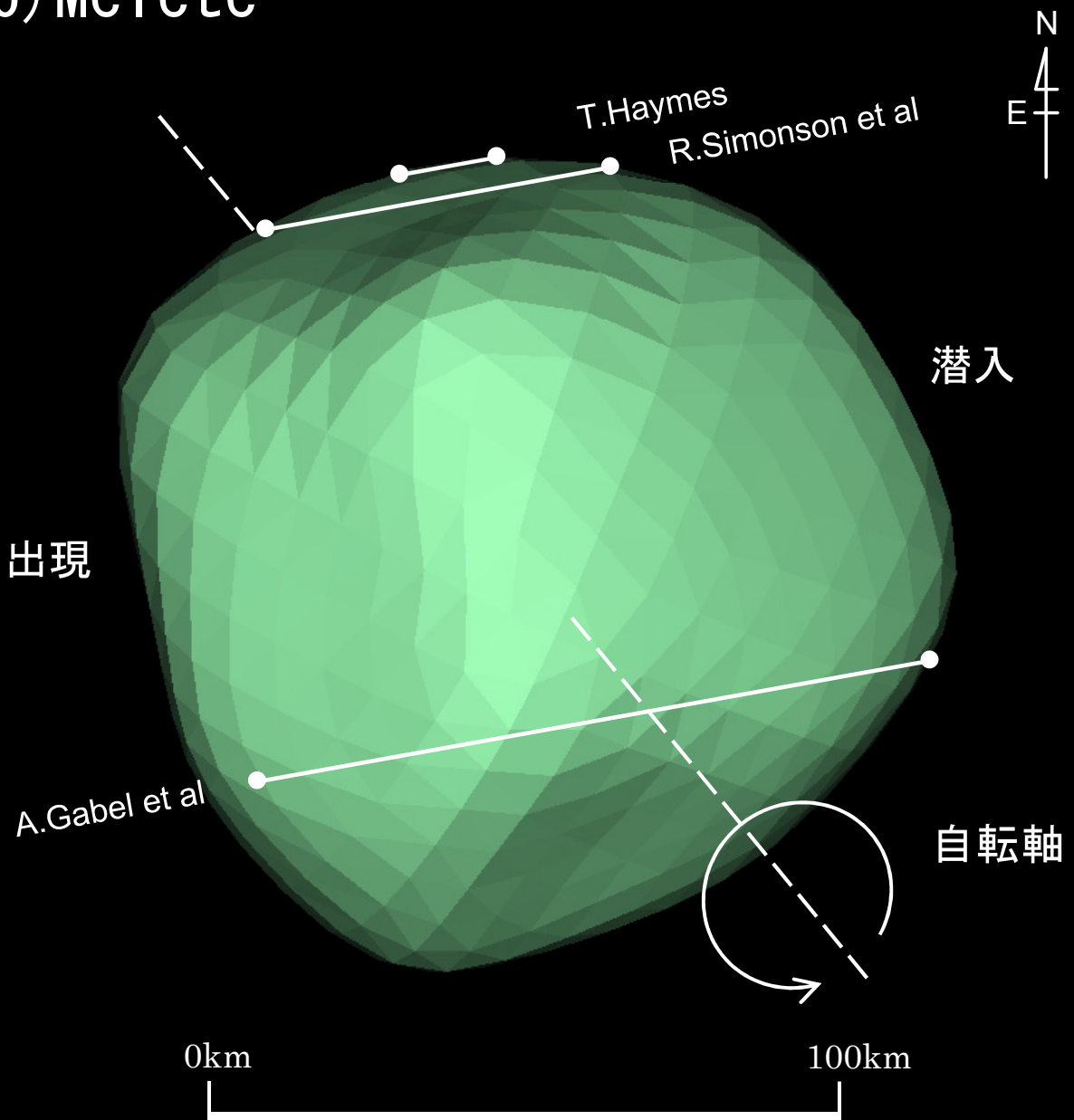


図9 (56) Melete 2014年1月17日 20h35m30s UT DAMIT Model 1852 ($\lambda = 283$ 、 $\beta = -1$) $\times 1$
 $P = 219^\circ$ 、 $\beta_e = +75^\circ$ 、 $\lambda_e = -65^\circ$ 、Scale Factor 1: 1.0、 $k = 0.995$ 、 $B = 247.7^\circ$

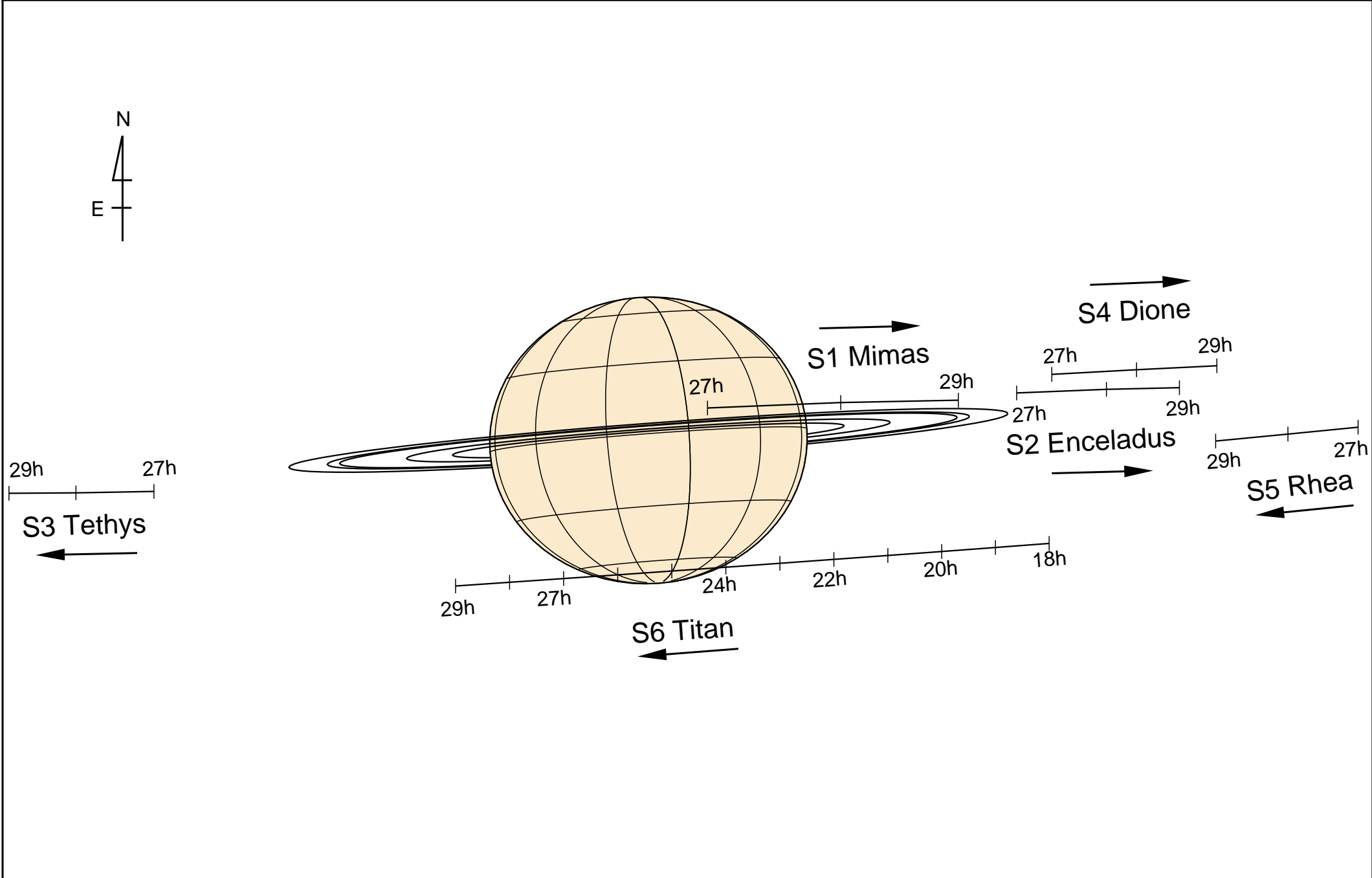


図10 地平線下の(S6)ティタンの食 (2025年5月7日JST・30時制)

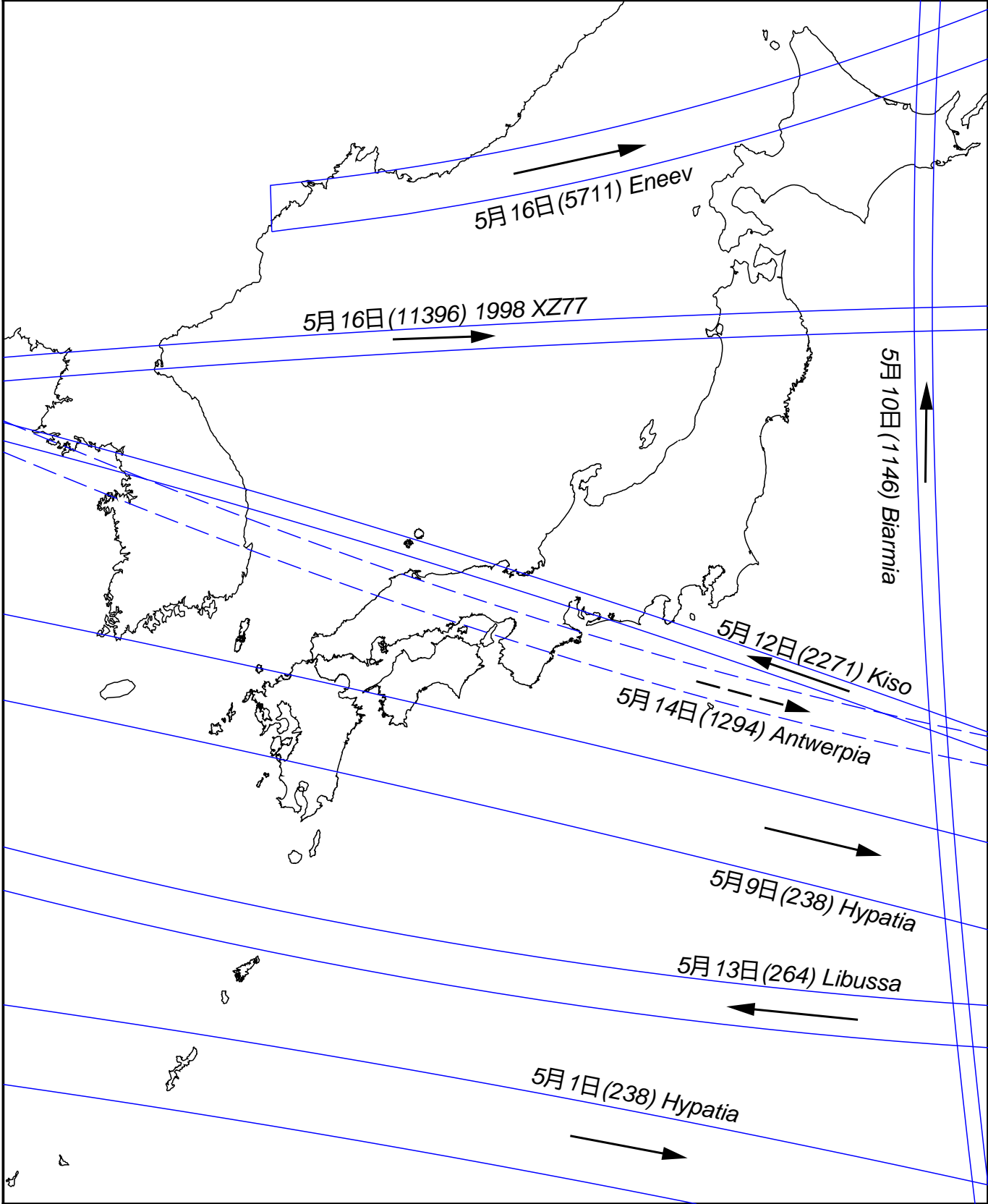


図11 小惑星による主な掩蔽帯経路 (S.Preston初期予報) 2025年5月 前半
 矢印は影の移動方向を示す

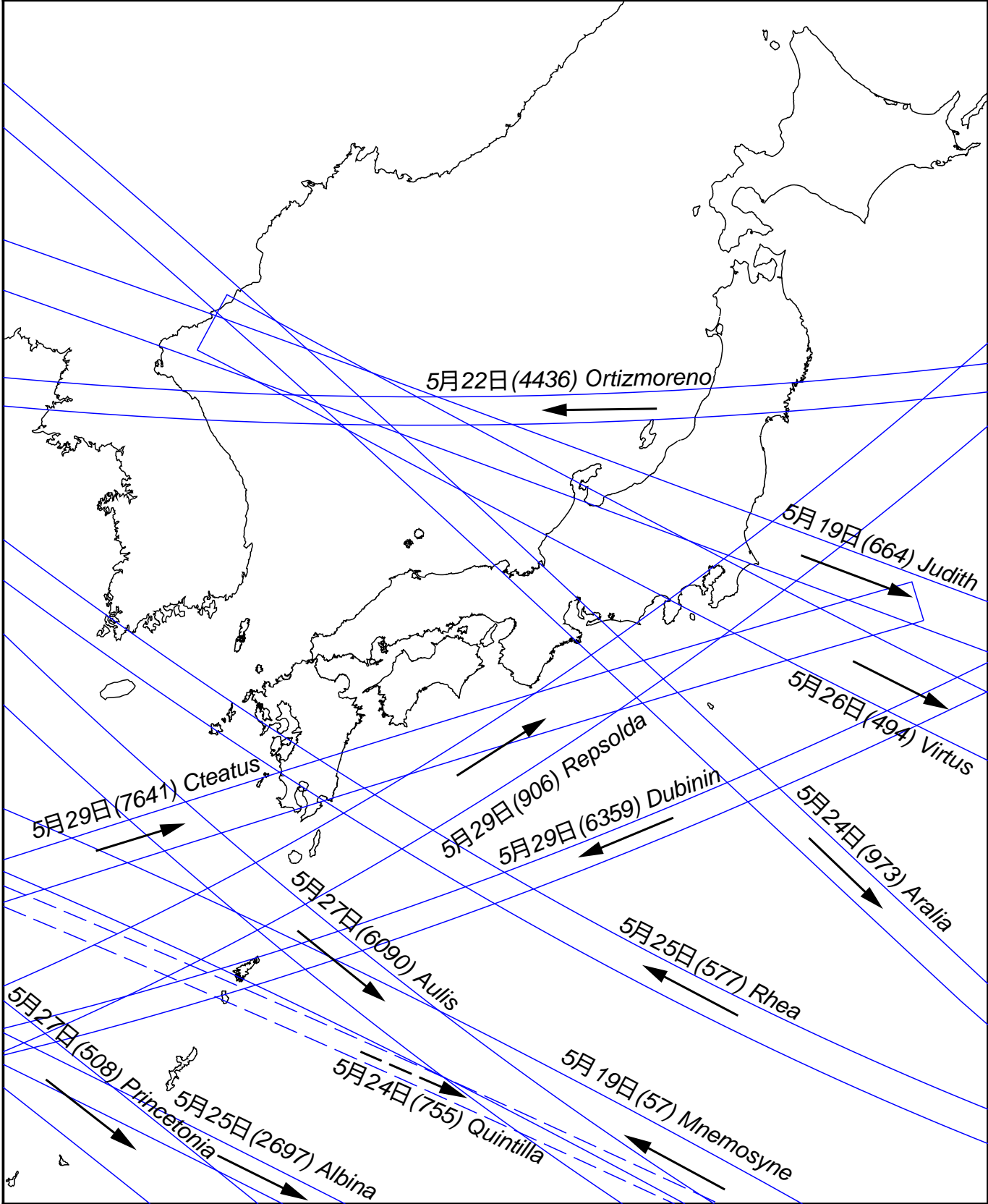


図12 小惑星による主な掩蔽帯経路 (S.Preston初期予報) 2025年5月後半
 矢印は影の移動方向を示す